

LB - N



R<sub>6</sub>NH<sub>2</sub>    Bsp - 1640-X | 1959

Zuza R., Mekne A

(Tr)

Z. anorg. und allgem.  
Chem., 1959, 299 (1-2)

33-40.

Re NH<sub>2</sub> NH<sub>3</sub>, ~~1395~~ C20-X-2 1959  
Kontg-NH<sub>3</sub> (P, Ske) B92-1395-5

(H, K)

R. Juck, A. Mehne, Z. anorg.

allg. Chem., 1959, 299, 41. Bem 1/2

XX  $\frac{82}{7}$

Kapazitätskurve

3 außerhalb

V-380

$R_6NO_3(HNO_3)_2$ ; 1959  
 $R_6NO_3 \cdot HNO_3$  Potier J. et al

( $T_m$ ) C. R. Acad. sci., 1959, 248,  
N°, 812-815

Rb(NO<sub>3</sub>)<sub>2</sub> (4 Haq, 4 Hf),

Ca(NO<sub>3</sub>)<sub>2</sub> (4 Haq), CaMoO<sub>4</sub> (4 Hf),

PbMoO<sub>4</sub> (4 Hf, 4 Haq, f.p.p.)

VII 1052/1958

Muldrow C.N., Jr., Hepler L.G.

J.Phys.Chem., 1958, 62, N8, 982-84.

Heats of precipitation and formation of  
lead and calcium molybdates.

RX., 1959, 10972 W, Ja,

F

V 457

1963

$\text{AgNO}_3$ ,  $\text{Na}_2\text{NO}_3$ ,  $\text{Cs}_2\text{NO}_3$ ,  $\text{Li}_2\text{NO}_3$ ,  $\text{TlNO}_3$ ,  $\text{K}_2\text{NO}_3$ ,  
 $\underline{\text{Rb}_2\text{NO}_3}$  ( H.fusion)

Kleppa O.J., McCarty F.G.

J.Chem. Eng. Data, 1963, 8(3), 331-2

Heats of fusion of the univalent nitrates by  
high-temperature reaction calorimetry.

CA, 1963, 59, N 8,8192f

Be.

Est.orig.

R

X-6317

1965

$MNO_2$ ,  $MNO_3$ , где  $M=Li, Na, K, Rb, Cs$   
( $T_m$ ,  $T_{tr}$ )

Проценко П.И., Бордюшкова Е.А.,  
Венигровская Л.Н.,

Укр. хим. ж., 1965, 31, VII, 1200-1203

ртжх, 1966, 165607 Б есть ори

VI - 3297.

1965

RbND<sub>4</sub>, MgTiO<sub>3</sub>, BaCO<sub>3</sub>, CaMnO<sub>3</sub>,  
ZnCO<sub>3</sub>, ZnSO<sub>4</sub>, FeTiO<sub>3</sub> "gr."  
(5 Hg)

Уралов В.С.,

Лекции, 1965, № 10, 1186-1190



B

лес опу.

$\text{NaNO}_2$ ,  $\text{KNO}_2$ ,  $\text{RbNO}_2$ ,  $\text{CsNO}_2$ ,  $\text{NH}_4\text{NO}_2$  1967

$\text{KNO}_2 \text{aq}$  ( $58^\circ$ ,  $66^\circ$ ,  $85^\circ$ ).

Синхроника B.Ф. № 4562

М. Преку. Женеве, 1967, 40(8), 1843-5  
11 60

Банда пробе синхроника монреаль  
жуковский лекция проба тишина, 2008  
M@ CA, 1968, 32, № 33797x

БХ-1910

1978

MX ( $M = Li, Na, K, RB, Cs, Mg, Ca, Sr, Ba, NH_4$ ,  
 $ClO_2$ ;  $X = F, Cl, Br, I, CH_3S, SO_4, NO_3, BrO_3,$   
 $CO_3, NO_2, ClO_4, ClO_3$ ) (17р)

Куликов В.Н., Киселевова О.Н.

Труд. УИ-и, Таджик, 1978, 14с. Рукопись  
 gen. ботанического з. Черкасов 5 ср.бр., 1949г.  
 № 2359/79 (дн.)

Очень производительное кустарниковое  
 и листопадное растение - растущее солонч.

РК Узбек, 1949. 1051276 Дн

В

*RbNH<sub>2</sub>*  
*KNH<sub>2</sub>*

1962

13Б191. Кристаллические структуры низкотемпературных модификаций  $\alpha$ -RbNH<sub>2</sub> и  $\alpha$ -KNH<sub>2</sub>. Juza R., Jacobs H., Klose W. Die Kristallstrukturen der Tieftemperaturmodifikationen von RbNH<sub>2</sub> und KNH<sub>2</sub>. «Naturwissenschaften», 1962, 49, № 2, 35—36 (нем.).— Проведено предварительное рентгенографическое исследование низкотемпературных модификаций  $\alpha$ -RbNH<sub>2</sub> (I) и  $\alpha$ -KNH<sub>2</sub> (II). Параметры моноклин. решеток: I  $a = 4,85$ ,  $b = 4,44$ ,  $c = 6,40 \text{ \AA}$ ,  $\beta = 97^\circ 48'$ ; II  $4,58$ ,  $3,90$ ,  $6,22$ ,  $95^\circ 48'$ ; для I и II  $Z = 2$ , ф. гр.  $C^2_{2h}$ . Предполагается, что обе структуры представляют собой искаженную структуру типа NaCl, где 6 ионов NH<sub>2</sub> образуют вокруг ионов K, Rb сильно искаженный октаэдр. Найдена следующая зависимость между параметрами решеток I и II и параметрами решеток высокотемпературных куб. модификаций RbNH<sub>2</sub> и KNH<sub>2</sub>, принадлежащих к неискаженному структурному типу NaCl:  $c(\text{монокл.}) \approx a(\text{куб.})$ ,  $a(\text{монокл.}) + b(\text{монокл.}) \approx a(\text{куб.})\sqrt{2}$ . С. Рыкова

3.1962.13.

1965

RbF.HNF<sub>2</sub>

Difluoramine: Preparation of difluorodiazine and addition compounds with alkali metal fluorides, Emil A. Lawton, Donald Pilipovich, and R. D. Wilson (N. Am. Aviation, Inc., Canoga Park, Calif.). *Inorg. Chem.* 4(1), 118-19(1965)(Eng).

KF.HNF<sub>2</sub>

N<sub>2</sub>F<sub>2</sub> was prep'd. by evacuating and heating to ~300° an ampul contg. KF until no more gas was evolved. HNF<sub>2</sub> was condensed into the ampul and the contents remained in contact for 17 hrs. at ambient temp. The gases were sepd. quant. by fractional condensation in a high vacuum line. N<sub>2</sub>F<sub>2</sub> was also prep'd. in a reactor constructed from a 50-cm. length of 12-mm. Pyrex tubing packed with RbF. The RbF was heated and pumped for several hrs. at 300-400°. The temp. was lowered to 120°, HNF<sub>2</sub> was added and slowly passed through the reactor, N<sub>2</sub>F<sub>2</sub> was collected in a -196° trap. KF- and RbF.HNF<sub>2</sub> addn. compds. were prep'd. by placing the fluorides in an ampul, heating *in vacuo* and then condensing in HNF<sub>2</sub>.  $\Delta H = 6.7$  and 9.9 kcal./mole for KF- and RbF.HNF<sub>2</sub>, resp. CsF.HNF<sub>2</sub> was prep'd. similarly. Removal of about 50% of HNF<sub>2</sub> caused an abrupt drop in the pressure to <0.05 mm. On warming, this complex exploded before reaching 0°.

G. S. Hammaker

C.A. 1965. 62 · 6  
6129 f2

1965

RBNH<sub>2</sub>

Yucca R., et al.

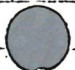
Kuccī

des-pa

Z. anorgan. und

allgem. Chem., 1965,

338, ~3-4, 171.



(Cee. KNH<sub>2</sub>)I

$3RbNO_3 \cdot RbCe(T_{fr})$  [BP ± 6605] 1971

Кукис Л.Н., Ачогенов Г.Г.

Тр. Иркутск. политехн. ин-та, 1971,  
б/н. 66, 101-106

О комплексообразовании и обмене  
в системе  $Na, RbNO_3, NO_3^-$

РН Иркутн., 1971  
2461016



6 5 (P)

31214, 1893

Ph, TE, MGU

RENSO 92493

1973

us-2713

Geni Kazuo, Ozawa Kunio. Effect of hydrostatic pressure on the ferroelectric Curie temperature of rubidium bisulfate RbHSO<sub>4</sub>.

"J. Phys. Soc. Jap.", 1973, 35, N 4,  
1268

(англ.)

1023 МК

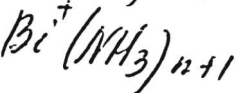
1000 1001

1016

ВИНИТИ

Физика 6140

1978



ев-фа  
Клаусеров  
Кр.

(42) 8

Х, 1978, 017

17 Б989. Свойства кластеров в газовой фазе: аммиак с  $Bi^+$ ,  $Rb^+$  и  $K^+$ . Castleman Jr. A. W. The properties of clusters in the gas phase: ammonia about  $Bi^+$ ,  $Rb^+$ , and  $K^+$ . «Chem. Phys. Lett.», 1978, 53, № 3, 560—564 (англ.)

Масс-спектрометрическим методом измерены константы газофазного равновесия  $M^+(L)_n + L \rightleftharpoons M^+(L)_{n+1}$  (1),

где  $L=NH_3$ , а  $M^+=Bi^+$  ( $70-350^\circ$ ),  $Rb^+$  или  $K^+$  ( $0-300^\circ$ ). Значения  $-\Delta H$  ккал/моль и  $-\Delta S$  э. е. процессы (1) для  $M^+=Bi^+$ ,  $Rb^+$  и  $K^+$  соотв. составили:  $n=0,35,5$  ккал/моль и 35,7 э. е., 18,7 и 24,3, 20,1 и 23,0;  $n=1$  23,2 и 33,0, 15,2 и 23,6, 16,3 и 22,8;  $n=2$  13,4 и 26,0 13,1 и 25,1, 13,5 и 23,3;  $n=3$  9 и —, 11,4 и 26,9, 11,6 и 25,4;  $n=4$  — и —, 10,2 и 30,0 — и —. Результаты сопоставлены с ранее полученными для  $L=H_2O$ . Обсуждается роль степени ковалентности связи и полярности лиганда в стабилизации кластера.

А. Б. Кисилевский

889

В.90

*Rb<sub>2</sub>SO<sub>4</sub> - (NH<sub>4</sub>)<sub>2</sub> SO<sub>4</sub>*

1978

*Rb<sub>2</sub>SO<sub>4</sub> - (NH<sub>4</sub>)<sub>2</sub> SO<sub>4</sub>*

*T<sub>E2</sub>*

88: 114074z Ferroelectric phase transition in rubidium sulfate-ammonium sulfate and cesium sulfate-ammonium sulfate mixed crystals. Ohi, Kikuo; Osaka, Jiro; Uno, Hiroshi (Sch. Sci. Eng., Waseda Univ., Tokyo, Japan). *J. Phys. Soc. Jpn.* 1978, 44(2), 529-36 (Eng). The ferroelec. phase transition of mixed crystal systems of Rb<sub>2</sub>SO<sub>4</sub>-(NH<sub>4</sub>)<sub>2</sub>SO<sub>4</sub> and Cs<sub>2</sub>SO<sub>4</sub>-(NH<sub>4</sub>)<sub>2</sub>SO<sub>4</sub> was studied by measuring the lattice consts., the dielec. const., the spontaneous polarization, and the proton spin-lattice relaxation time as functions of temp. and concn. of Rb<sup>+</sup> ion and Cs<sup>+</sup> ion. With the increase in the concn. of the ions in both mixed crystal systems, the following changes occur: (1) the ferroelec. phase transition temp. increases a few degrees until it reaches a certain concn. and decreases sharply. (2) The Curie-Weiss const. increases. (3) The phase transition changes from first order to 2 order at 2 certain concns. (4) The max. value of the spontaneous polarization increases 10% until it reaches the certain concn. and decreases gradually. The results are discussed in terms of a 2-nonequiv. sublattice model.

(41) □

c.f. 1948, 2d, N/16

$\text{NaNO}_3 \cdot 2\text{RbNO}_3$

1981

21 Б872. Система  $(\text{NaNO}_3)_2 - (\text{RbNO}_3)_2 - \text{Ba}(\text{NO}_3)_2$ .  
Ильясов И. И., Волчанская В. В., Кириллов О. В. «Ж. неорганической химии», 1981, 26, № 7,  
1909—1910

Изучена диаграмма плавкости системы  $(\text{NaNO}_3)_2 - (\text{RbNO}_3)_2 - \text{Ba}(\text{NO}_3)_2$ . При кристаллизации состоит из полей компонентов соединения  $\text{NaNO}_3 \cdot 2\text{RbNO}_3$ . В системе обнаружены переходная точка при  $147^\circ\text{C}$  и эвтектическая при  $140^\circ\text{C}$ .

Резюме

$T_m$

X.21.1981

*Rb<sub>3</sub>NO<sub>4</sub>*

1992

11 В1. Новые ортонитраты щелочных металлов и их описание [методами] колебательной спектроскопии. Neue Alkalimetallorthonitrate und ihre schwingungsspektroskopische Charakterisierung /Bremm Th., Jansen M. //Z. anorg. und allg. Chem. .—1992 .—608 ,№ 2 .—С. 49—55 .—Нем.; рез. англ.

Впервые синтезированы ортонитраты щел. металлов состава  $\text{Rb}_3\text{NO}_4$ ,  $\text{Cs}_3\text{NO}_4$ ,  $\text{MM}'\text{NO}_4$  ( $\text{M}$ ,  $\text{M}'=\text{Na}$ ,  $\text{K}$  и  $\text{Rb}$ ),  $\text{M}_3\text{M}'_3(\text{NO}_4)_2$  [ $\text{M}=\text{K}$ ,  $\text{Rb}$  и  $\text{Cs}$ ,  $\text{M}'=\text{Na}$ ,  $\text{K}$  и  $\text{Rb}$ , за исключением  $\text{Cs}_3\text{Na}_3(\text{NO}_4)_2$ ] и  $\text{MM}'_3(\text{NO}_4)_2$  ( $\text{M}$ ,  $\text{M}'=\text{Na}$  и  $\text{K}$ ). Синтез осуществлен твердофазными ре-циями из оксидов и нитратов соотв-щих щел. металлов. Методами колебат. спектроскопии доказано, что все полученные соединения содержат  $\text{NO}_4^{3-}$ -группы. Отмечена сильная зависимость частот поглощения от радиусов катионов.

(43)

18



$\text{Rb}_3\text{NO}_4$ ,  $\text{Na}_3\text{NO}_4$ ,  
 $\text{K}_3\text{NO}_4$ .

X. 1993, N 11

RBNI 4804 1996

Романов H.A., Снайдер ВЧ  
и др.)

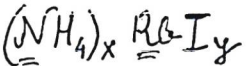
(Tet2) Кристаллография. —  
1996, № 5, С 882—  
886

Р. А. Х. № 18,

1997, № 52140

F: Bergman

P: I



1999  
9

134:286203 Anomalous specific heat and tunneling states in orientationally disordered solids. Goyal, P. S. Condensed Matter Physics Division, Bhabha Atomic Research Centre, Mumbai, India. Editor(s): Mukhopadhyay, R.; Shaikh, A. M.; Godwal, B. K. Solid State Phys., Proc. DAE Solid State Phys. Symp., 41st (1999), Meeting Date 1998, 57-59. Publisher: Universities Press (India) Ltd., Hyderabad, India Conference; General Review written in English.

The temp. dependence of the sp. heat  $C_p$  of orientationally disordered solids, such as  $(NH_4)_xRb_1-xI$ , does not obey the Debye law at low temps. This is believed to be connected with the low energy tunneling states in these solids, as is the case with amorphous solids. This paper reviews, with 14 refs., results of sp. heat and tunneling spectra studies on orientationally disordered solids and discusses the relevance of these studies in understanding the non-Debye sp. heat of glasses.

2.1999

F:  $(\text{NH}_4)_x\text{Rb}_{1-x}\text{I}$

P: 1

134:286225 Tunnelling states and specific heat of  $(\text{NH}_4)_x\text{Rb}_{1-x}\text{I}$ . Goyal, P. S.; Aswal, V. K.; Inaba, A.; Carlile, C. J.; Kagunya, W. Condensed Matter Physics Division, Bhabha Atomic Research Centre, Mumbai, India. Editor(s): Mukhopadhyay, R.; Shaikh, A. M.; Godwal, B. K. Solid State Phys., Proc. DAE Solid State Phys. Symp., 41st (1999), Meeting Date 1998, 317-318. Publisher: Universities Press (India) Ltd., Hyderabad, India Conference written in English.

The temp. dependence of sp. heat of the mixed salt  $(\text{NH}_4)_x\text{Rb}_{1-x}\text{I}$  in the temp. range from 0.7 to 8.0 K is reported. The sp. heat does not obey the  $T^3$  (Debye) law for  $T < 4$  K and the deviations from the Debye curve increase with  $x$ . These results correlate very well with the measured rotational tunneling spectra of  $\text{NH}_4^+$  ions, which shift to lower energies with increasing  $x$ .

$RbNO_3$

2001

$T_{cr}$

F:  $RbNO_3$  ( $T_{cr}$ )

P: 1

02.15-19Б3.106. Моделирование методом молекулярной динамики структурных фаз переходов в  $RbNO[3]$  и  $CsNO[3]$ . Molecular dynamics simulation of structural phase transitions in  $RbNO[3]$  and  $CsNO[3]$  / Liu Jianjun, Duan Chun-gang, Ossowski M. M., Mei W. N., Smith R. W., Hardy J. R. // J. Solid State Chem 2001. - 160, N 1. - С. 222-229. - Англ.

Установлено, что фазовый переход IV-III в  $RbNO[3]$  и фазовый переход II-I в  $CsNO[3]$  начинается с вращения ионов  $NO[3]$  в плоскости и вне плоскости, а фазовые переходы III-II-I в  $RbNO[3]$  обусловлены расширением вдоль триугольника оси фазы III, в результате чего образуется фаза II с ромбоздрической структурой. Библ. 19.